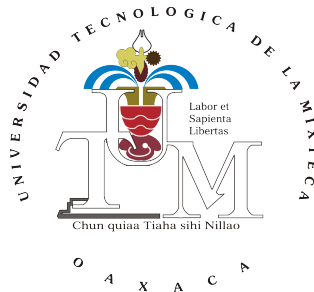


---

---

UNIVERSIDAD TECNOLÓGICA DE LA MIXTECA  
DIVISIÓN DE ESTUDIOS DE POSGRADO  
MAESTRÍA EN ROBÓTICA



---

# Aplicación de técnicas para detección y extracción de iris

---

Proyecto que se presenta como parte de la materia:

Visión por computadora

Presenta:

**Belén Aidee Santiago Marcial**

Huajuapán de León, Oaxaca, México, 28 de Junio de 2018



# Índice

1	Introducción . . . . .	1
2	Marco teórico . . . . .	2
2.1	Reconocimiento de iris . . . . .	2
2.1.1	Captura de la imagen . . . . .	3
2.1.2	Pre-procesamiento de la imagen . . . . .	3
2.1.3	Extracción de la zona de interés . . . . .	3
2.1.4	Transformación de coordenadas . . . . .	3
3	Objetivos . . . . .	4
3.1	General . . . . .	4
3.2	Específicos . . . . .	4
4	Desarrollo . . . . .	4
4.1	Detección y extracción de la región de la pupila . . . . .	4
4.2	Detección y extracción de la región del iris . . . . .	12
4.3	Extracción de la región del iris . . . . .	17
4.4	Transformación a coordenadas polares . . . . .	20
4.4.1	Pruebas . . . . .	22
5	Conclusiones . . . . .	26
6	Anexos . . . . .	26
6.1	Código principal . . . . .	26
6.1.1	Filtro de la mediana . . . . .	32
6.1.2	Algoritmo de normalización . . . . .	32
6.1.3	Algoritmo de detección automática de umbral . . . . .	33
6.1.4	Algoritmo de etiquetado . . . . .	33
6.1.5	Algoritmo de detección de área . . . . .	34
6.1.6	Algoritmo para encontrar la pupila . . . . .	34
6.1.7	Algoritmo para encontrar el radio de la pupila y del iris . . . . .	34
6.1.8	Algoritmo para encontrar los límites de la pupila y del iris . . . . .	36
6.1.9	Algoritmo para detección de bordes utilizando el operador de Sobel . . . . .	36
6.1.10	Algoritmo de para obtener el ruido de la imagen . . . . .	37
6.1.11	Algoritmo de eliminación de ruido . . . . .	38
6.1.12	Algoritmo Top-Hat con doble apertura . . . . .	38
6.1.13	Algoritmo de recorte . . . . .	39
6.1.14	Algoritmo para encontrar los bordes del iris . . . . .	40
6.1.15	Algoritmo para extraer la región del iris . . . . .	40
6.1.16	Algoritmo para ecualizar . . . . .	40
6.1.17	Algoritmo para transformación de coordenadas . . . . .	42
6.1.18	Algoritmo para transformación inversa . . . . .	43



## Índice de figuras

1	Principio de funcionamiento del reconocimiento de iris. . . . .	2
2	Imagen original de la persona 1. . . . .	5
3	Imagen con filtro de la mediana de la persona 1. . . . .	5
4	Imagen normalizada de la persona 1. . . . .	6
5	Histograma de la imagen original de la persona 1. . . . .	7
6	Histograma de la imagen con filtro de la mediana de la persona 1. . . . .	7
7	Histograma de la imagen original normalizada de la persona 1. . . . .	7
8	Imagen con filtro normalizada de la persona 1. . . . .	8
9	Histograma de la imagen con filtro normalizada de la persona 1. . . . .	8
10	Imagen filtrada con el valor T Umbral de la persona 1. . . . .	9
11	Intercambio de colores de los objetos con T Umbral de la parsona 1. . . . .	10
12	Binarización de la imagen con T Umbral de la persona 1. . . . .	10
13	Etiquetado de la imagen con T Umbral de la persona 1. . . . .	11
14	Imagen de la pupila con centro en (Xc,Yc) de la persona1. . . . .	11
15	Aplicación del aperador de sobel para extracción de bordes del ojo de la persona 1. . . . .	12
16	Extracción de bordes de la imagen original de la persona 1. . . . .	13
17	Extracción del ruido de la imagen original de la persona 1. . . . .	14
18	Imagen de los bordes sin ruido de la persona 1. . . . .	14
19	Imágenes con cierre y apertura con se=1 de la persona 1. . . . .	15
20	Imagen con apertura con se=2 de la persona 1. . . . .	15
21	Imagen recortada de la persona 1. . . . .	15
22	Etiquetado de los objetos encontrados de la persona 1. . . . .	16
23	Imagen de los bordes de iris de la persona 1. . . . .	17
24	Trazo de los limites de la pupila e iris de la persona 1. . . . .	18
25	Región del iris de la imagen original de la persona 1. . . . .	18
26	Región del iris ecualizada de la persona 1. . . . .	19
27	Región del iris normalizada y ecualizada de la persona 1. . . . .	19
28	Transformación del iris normalizado a un sistema polar de la persona 1. . . . .	20
29	Trasnformación del iris normalizado y ecualizado a un sistema polar de la persona 1. . . . .	20
30	Transformación inversa del sistema polar de la persona 1. . . . .	20
31	Trasnformacion inversa del sistema polar de la persona 1. . . . .	21
32	Trazo de los limites de la pupila e iris de la persona 2. . . . .	21
33	Trasnformación del iris normalizado y ecualizado a un sistema polar de la persona 2. . . . .	22
34	Trasnformación inversa de un sistema polar de la persona 2. . . . .	22
35	Trazo de los limites de la pupila de iris de la persona 3. . . . .	23
36	Transformación del iris normalizado y ecualizadp a un sistema polar de la persona 3. . . . .	23
37	Transformación inversa del sistema polar de la persona 3. . . . .	23

38	Trazo de los límites de la pupila e iris de la persona 4. . . . .	24
39	Transformación del iris normalizado y ecualizado a un sistema polar de la persona 4. . . . .	24
40	Trasformación inversa del sistema polar de la persona 4. . . . .	24
41	Trazo de los límites de la pupila e iris de la persona 5. . . . .	25
42	Transformación del iris normalizado y ecualizado a un sistema polar de la persona 5. . . . .	25
43	Trasformación inversa del sistema polar de la persona 5. . . . .	25

# 1. Introducción

El proyecto consiste en desarrollar un sistema de identificación biométrica a través del iris de una persona utilizando una PC para realizar el procesamiento de las imágenes. El desarrollo y prueba de los algoritmos se realizó en MATLAB. Las imágenes se extraen digitalmente de una base de datos de internet llamada CASIA (CASIA Iris Image Database v1.0), para extraer la región del iris usan algoritmos de pre-procesamiento de imágenes para poder mejorar la calidad de la imagen y poder extraer de forma eficiente la dicha región.

Las pruebas de los algoritmos para encontrar el radio de la pupila y del iris, se realizaron con una muestra extraída de la base de datos. La base de datos esta compuesta de 749 imágenes, 7 imágenes de 108 individuos distintos.

El documento esta organizado de la siguiente forma: en la sección de marco teórico, se muestran los conceptos que dan sustento a las etapas desarrolladas así como la descripción de cada una de ellas, en la sección de objetivos se muestran el objetivo general y los objetivos específicos que persigue el proyecto desarrollado, en la seccion de desarrollo se describe cada uno de los algoritmos implementados así como los resultados de cada uno de estos, además; también se incluyen pruebas de la implementación del sistema, en las conclusiones se muestran las obcervaciones y resultados obtenidos, por último se incluye la lista de referencias utilizadas en el desarrollo del sistema. Como anexo se muestran los códigos programados para cada una de las etapas.

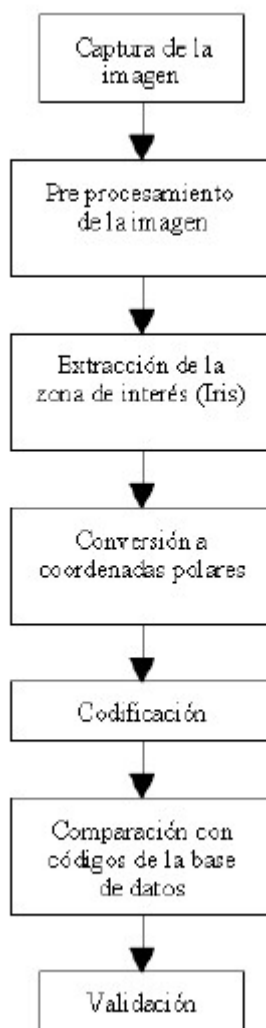


Figura 1: Principio de funcionamiento del reconocimiento de iris.

## 2. Marco teórico

### 2.1. Reconocimiento de iris

El reconocimiento del iris utiliza la tecnología de las cámaras: con una fina iluminación infrarroja se reduce el reflejo que se haya podido producir en la convexa córnea y poder crear detalladas imágenes de las complejas estructuras del iris. Una vez convertidas en plantillas digitales, estas imágenes proporcionan una representación matemática del iris, las cuales coinciden con una identificación positiva e inequívoca de un individuo [1].

En este trabajo solo se llegará a la cuarta etapa que es la de conversión a coordenadas polares..



### 2.1.1. Captura de la imagen

Se captura una imagen de la capa arbórea del iris en blanco y negro, en un entorno correctamente iluminado, usando una cámara de alta resolución. En este caso se tomarán imágenes de la base de datos de CASIA como fue mencionado en la introducción.

### 2.1.2. Pre-procesamiento de la imagen

A fin de poder extraer la zona de interés (iris) de la imagen capturada, se aplican ciertos filtros sobre la misma. Se aplican algoritmos para aislar el iris del resto de la imagen. Si el iris no es aislado correctamente puede dificultarse la correcta identificación. Además también se normaliza la imagen del iris aislada sea independiente del tamaño de la pupila, debido a que puede variar en cada imagen. Normalizar la imagen implica transformar la región anular del iris en una región rectangular de dimensiones constantes. La etapa de mejora prepara a la imagen normalizada modificándola y preparándola para la etapa de extracción [2].

El primer paso es aplicar un filtro de mediana, el cual uniforma la conjuntiva del ojo. Esto sirve para que los bordes de las pestañas, pupila e iris sean más marcados, de tal forma que puedan ser mejor identificados en las siguientes etapas [1].

**Hallando el centro y radio de la pupila** A la imagen con filtro se le aplica un estiramiento de histograma para encontrar el umbral y así encontrar las regiones más oscuras de la imagen. Se determina el centro y radio de la pupila. Habiendo identificado el círculo de la pupila y sus coordenadas de centro; así como el radio de la misma; la pupila es aislada mediante una máscara de extracción, en la cual el círculo de la pupila es de color negro en un fondo blanco.

**Hallando el centro y radio del iris** Para extraer el borde externo del iris se aplica estiramiento de histograma de la imagen en escala de grises original, luego se aplican el filtro de mediana para uniformizar las regiones y eliminar falsos contornos, seguidamente se aplican algún operador de detección de bordes, en este caso se aplicará el operador de Sobel.

### 2.1.3. Extracción de la zona de interés

Conociendo las coordenadas del centro del iris y su radio, se traza una circunferencia de color blanco sobre un fondo negro. Se realiza una operación AND entre la imagen captura y las dos máscaras de extracción, consiguiendo aislar la zona de interés (el anillo del iris) en la imagen.

### 2.1.4. Transformación de coordenadas

Luego de obtener el centro y radio de la pupila y del iris (debido a que se los puede considerar concéntricos [1], aunque no necesariamente lo sean), la región anular obtenida es normalizada a una

imagen rectangular, es decir que la imagen es “estirada”, recorriéndola en sentido antihorario para representarla en el eje polar, realizando las transformaciones correspondientes, para ello se utilizan las operaciones mostradas en [3]. Y por último se hace una transformación inversa que propone [3], porque la imagen con transformación polar quedan algunos píxeles sin información, y al realizar la transformación inversa, el cual, en lugar de recorrer todos los píxeles de la imagen original, recorre todos los píxeles de imagen con transformación polar y busca a que píxeles corresponden de la imagen original.

### **3. Objetivos**

#### **3.1. General**

Desarrollar un sistema de detección de iris y pupila para la extracción de la banda del iris.

#### **3.2. Específicos**

- Comprender las diferentes técnicas y algoritmos vistos en clases para el procesamiento digital de imágenes.
- Aplicar operaciones de mejoramiento de imagen para obtener mejores resultados.
- Encontrar el centro de la pupila y del iris.
- Encontrar el radio de la pupila y el radio del iris.
- Extraer la banda de la region del iris.
- Realizar pruebas para validar el algoritmo de extracción de iris.

### **4. Desarrollo**

Se realizó un algoritmo principal (llamado principal.m), en cual se incluyen cada una de las etapas que se describen a continuación.

#### **4.1. Detección y extracción de la región de la pupila**

La imagen original se pasa del espacio RGB de 3 dimensiones a escala de gris de dos dimensiones, y queda como se muestra en la figura 2.

Al aplicar el filtro de la mediana a la imagen 2, queda como se muestra en la imagen 3

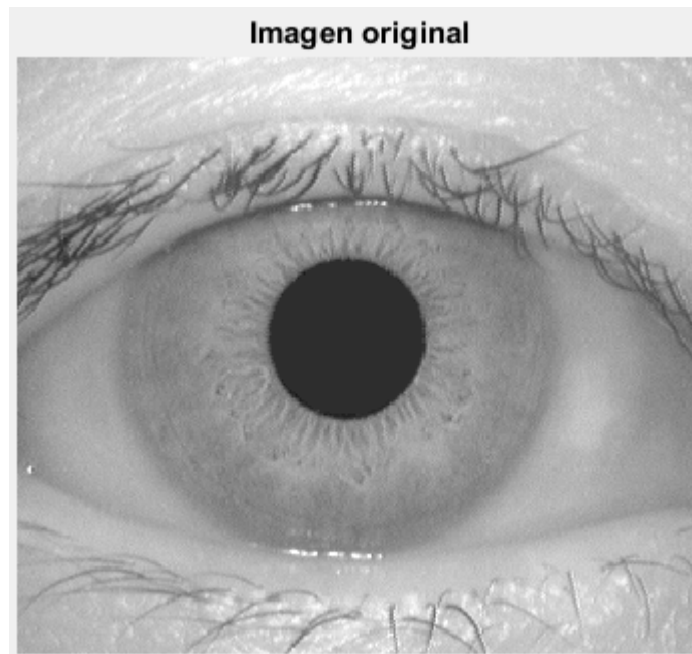


Figura 2: Imagen original de la persona 1.



Figura 3: Imagen con filtro de la mediana de la persona 1.

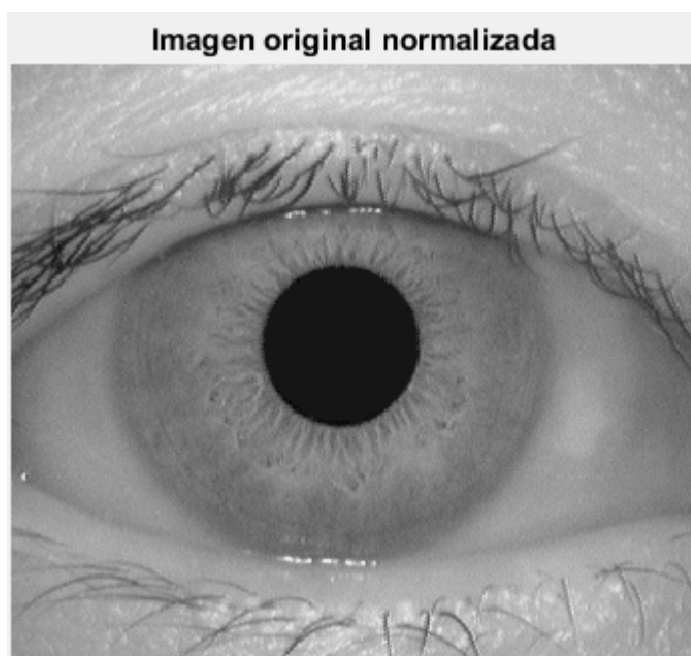


Figura 4: Imagen normalizada de la persona 1.

La imagen filtrada 3 al ser normalizada con el algoritmo `normalizar.m` de la sección de anexos, queda como se muestra en la figura 4

Se obtienen los histogramas de la imagen de la figura 2, de la imagen de la figura 3, los cuales se muestran en las figuras 4 y 5, respectivamente.

La imagen original de la figura 2 es normalizada para obtener su histograma mostrado en la figura 7, y observar, la diferencia entre cada uno de los histogramas.

La imagen de la figura 3 es normalizada (figura 8) utilizando el algoritmo de `normalizar.m` de la sección de anexos, para así abarcar toda la región entre 0 y 255, como se muestra en la figura 9.

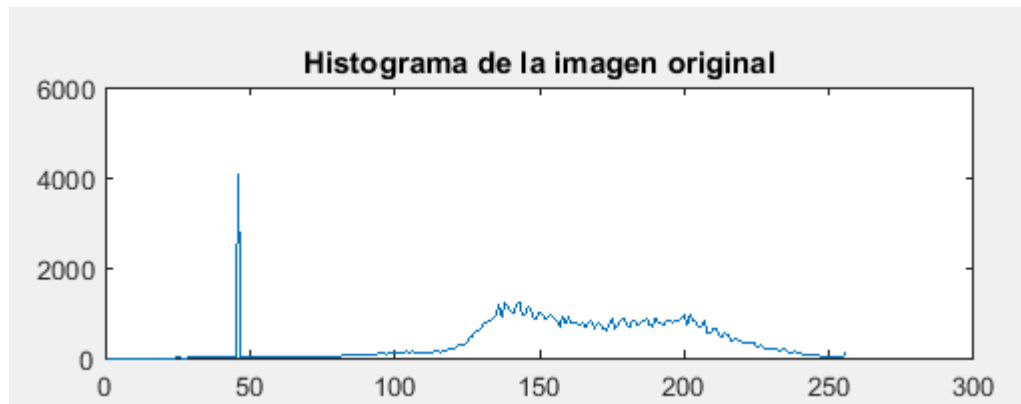


Figura 5: Histograma de la imagen original de la persona 1.

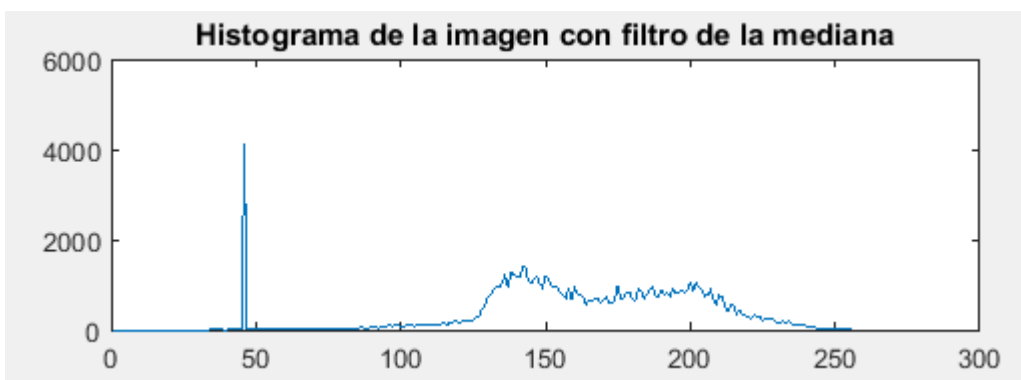


Figura 6: Histograma de la imagen con filtro de la mediana de la persona 1.

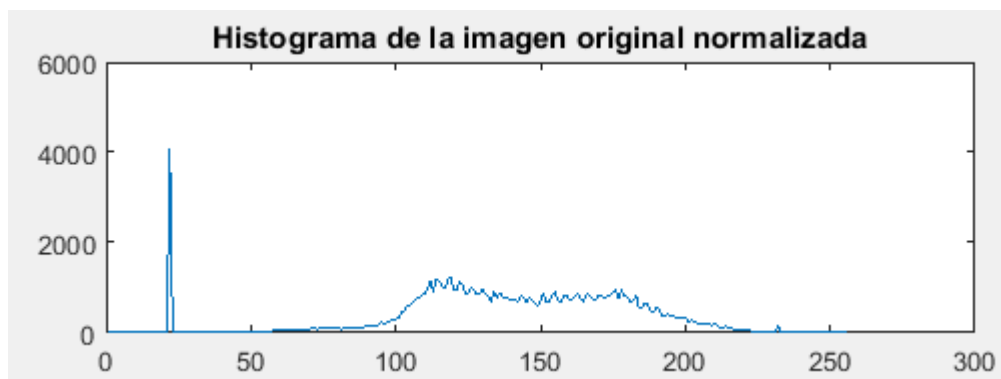


Figura 7: Histograma de la imagen original normalizada de la persona 1.



Figura 8: Imagen con filtro normalizada de la persona 1.

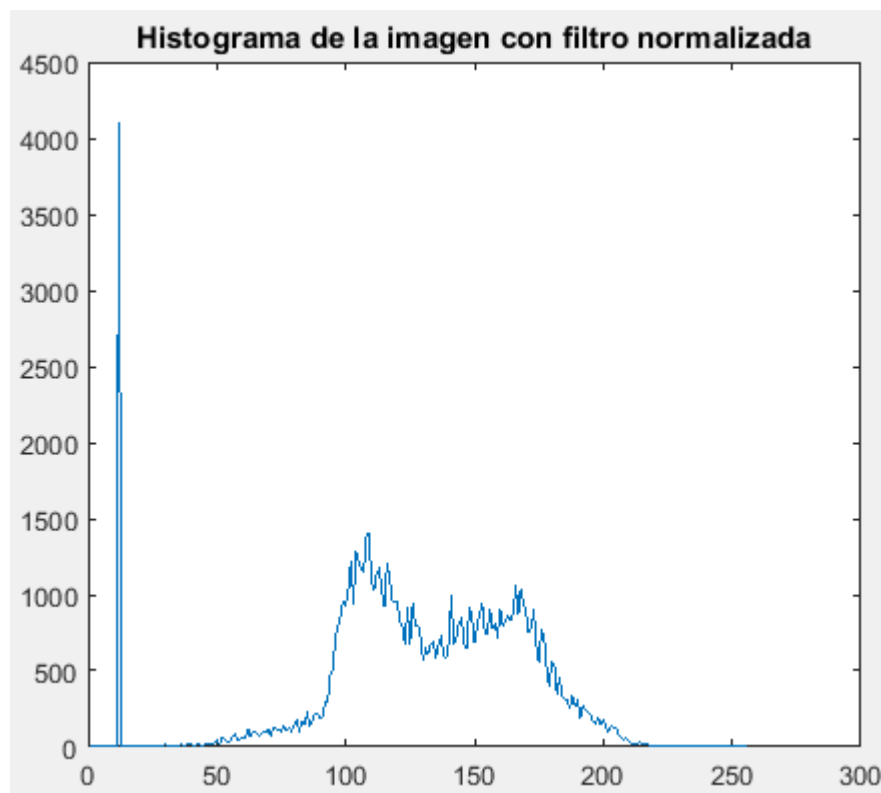


Figura 9: Histograma de la imagen con filtro normalizada de la persona 1.



Figura 10: Imagen filtrada con el valor T Umbral de la persona 1.

Con el histograma de la figura 9, se aplica el algoritmo para detección automática de umbral (umbral.m, mostrado en la sección de anexos), y así restar ese valor a la imagen original para obtener los objetos de la imagen con dicho umbral, como en la figura 10.

A continuación se hace un intercambio de colores de los píxeles, los unos se hacen ceros y los ceros se hacen unos, quedando como se muestra en la figura 11.

Lo que sigue es realizar un etiquetado de los objetos que quedaron después de la unbralización, utilizando el algoritmo etiquetado.m de la sección de anexos. Para ello primero se realiza una binarización de la imagen 11, y luego se realiza el etiquetado de los objetos, figuras 12 y 13, respectivamente.

Con los objetos etiquetados, se aplica un algoritmo de detección del objeto con el área máxima (archivo area.m, de la sección de anexos), ya que este es la pupila. Una vez encontrado dicho objeto, se realiza un algoritmo de detección de pupila (find\_pupila.m de la sección de anexos), que consiste en filtrar la imagen 13 para eliminar el resto de los objetos con menor área como se muestra en la figura 14. Posteriormente, utilizando la función *regionprops* de MATLAB, se obtiene el centro de la pupila en (xc,yc), como se indica en la figura 14.

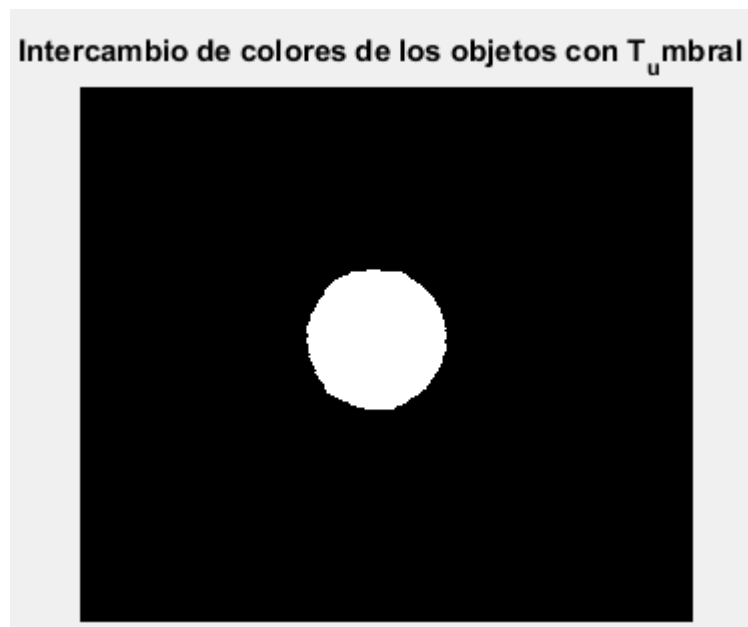


Figura 11: Intercambio de colores de los objetos con T Umbral de la parsona 1.

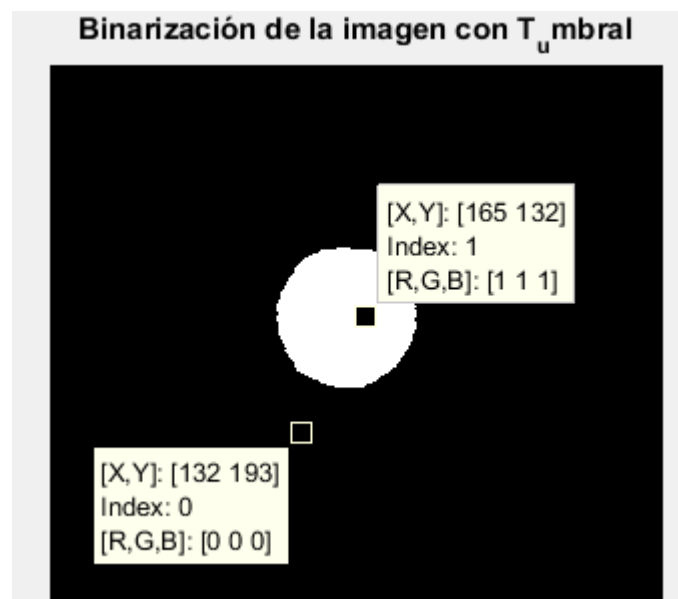


Figura 12: Binarización de la imagen con T Umbral de la persona 1.



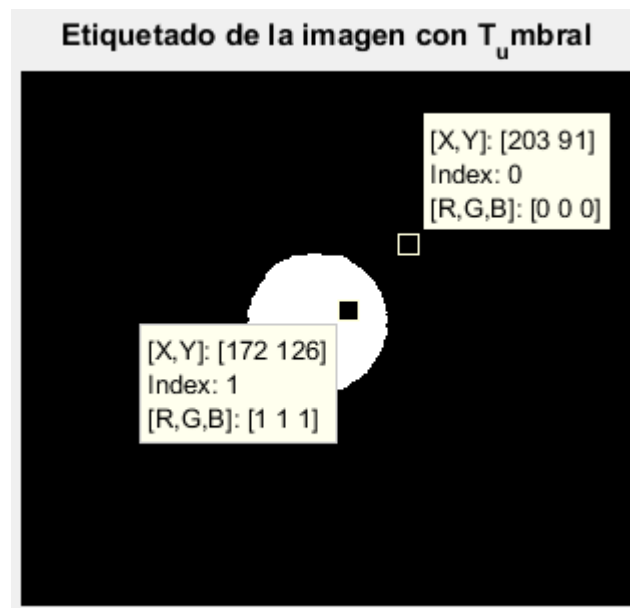


Figura 13: Etiquetado de la imagen con T Umbral de la persona 1.

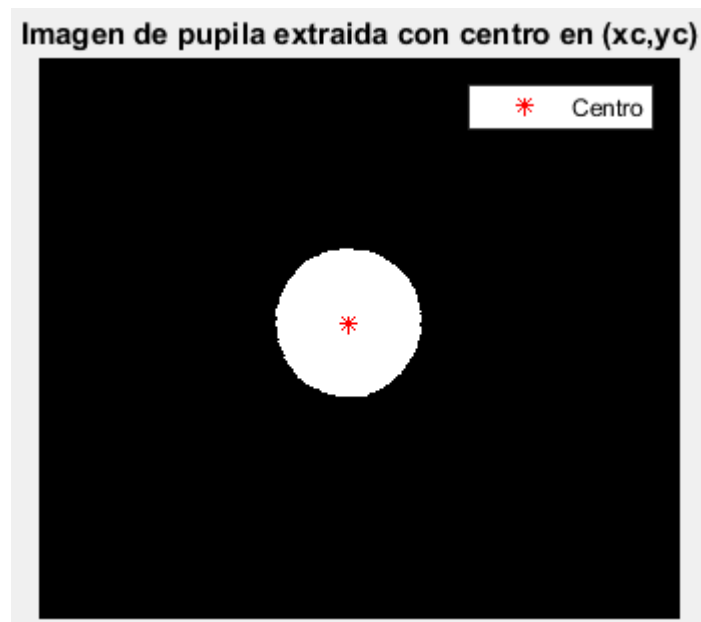


Figura 14: Imagen de la pupila con centro en (Xc,Yc) de la persona 1.

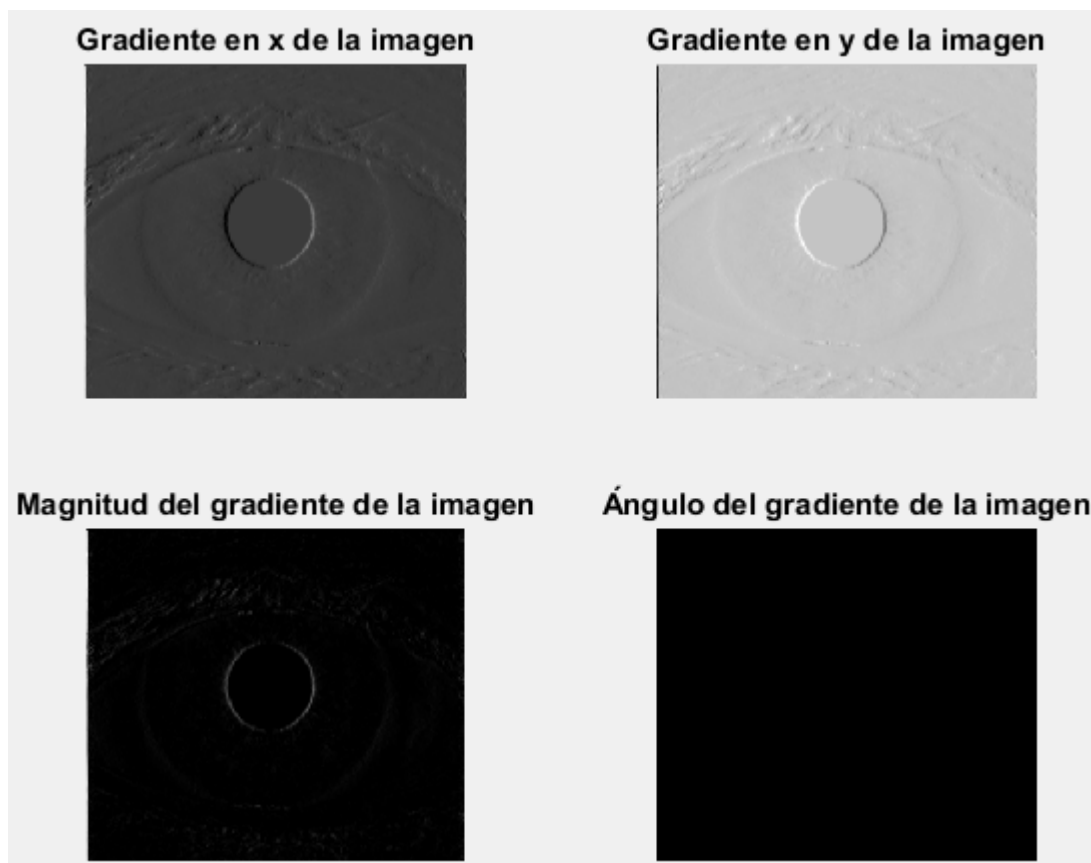


Figura 15: Aplicación del operador de sobel para extracción de bordes del ojo de la persona 1.

Por último se aplica el algoritmo para encontrar el radio (`find_radio.m`, de la sección de anexos) de la pupila de la figura 14 y el algoritmo para dibujar un círculo (`draw_circle.m`, de la sección de anexos), para así encontrar los límites de la pupila.

## 4.2. Detección y extracción de la región del iris

Primero se aplica un operador de sobel (`find_contornos.m` de la sección de anexos) para encontrar los bordes de la imagen original 2, como se muestra en la figura 15, una vez encontrada la matriz con la magnitud del gradiente del operador, se aplica un filtrado a dicha matriz con un umbral de 15 para encontrar los bordes como se muestra en la figura 5.

Además de la imagen original se obtiene el ruido aplicando el algoritmo `find_ruido.m`, el cual consiste en obtener el promedio del histograma de la imagen original. Con el valor promedio obtenido,

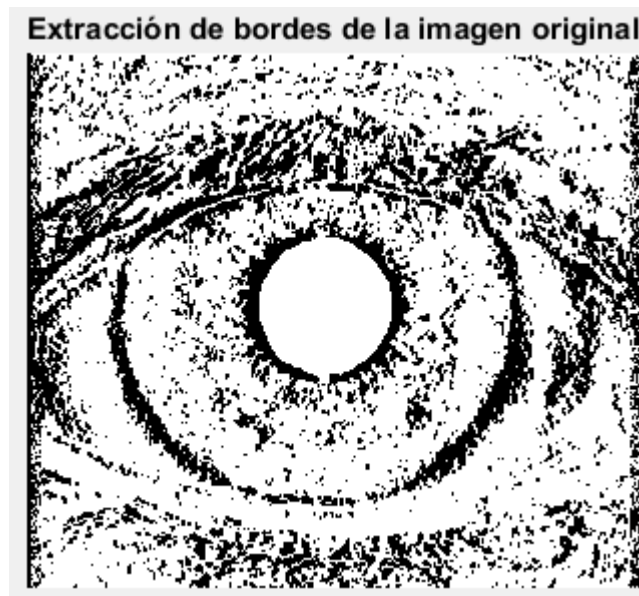


Figura 16: Extracción de bordes de la imagen original de la persona 1.

se realiza un filtro para obtener una nueva imagen con los pixeles con de ese valor, como se muestra en la figura 17.

Enseguida la imagen 17 se resta de la imagen 16 (usando el algoritmo de `eliminar_ruido.m` de la sección de anexos), para así obtener una imagen con menos ruido, como se muestra en la figura 18.

Posteriormente se aplica una operación morfológica de Top-Hat de tipo disco con doble apertura (algoritmo ), una de  $se=1$  y otra de  $se=2$ , utilizando el algoritmo `close_open.m`. En la figuras 19 y 20, se muestra la imagen18 con operación de Top-Hat y con doble apertura, respectivamente.

Acontinuación, se hace un recorte rectangular de la figura 20, para eliminar la mayoría de los objetos no importantes. Se utiliza el algoritmo `ojo_rectangulo.m` de la sección de anexos, el cual consiste en eliminar primero todos los objetos fuera del rectángulo con centro en la pupila, de ancho de dos veces radio de pupila+5 y largo 240. En segundo lugar, eliminar todos los objetos dentro de un rectángulo con centro en la pupila, de largo de dos veces radio de pupila+30 y de ancho de dos veces el radio de la pupila. La imagen resultante queda como se muestra en la figura 21.



Figura 17: Extracción del ruido de la imagen original de la persona 1.



Figura 18: Imagen de los bordes sin ruido de la persona 1.

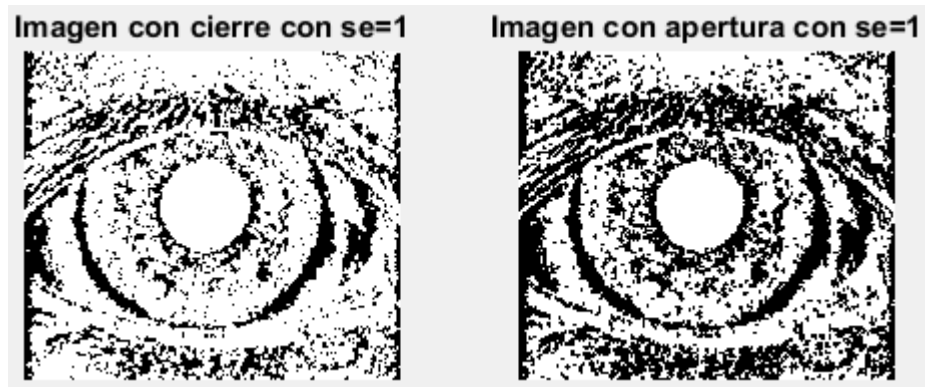


Figura 19: Imágenes con cierre y apertura con  $se=1$  de la persona 1.

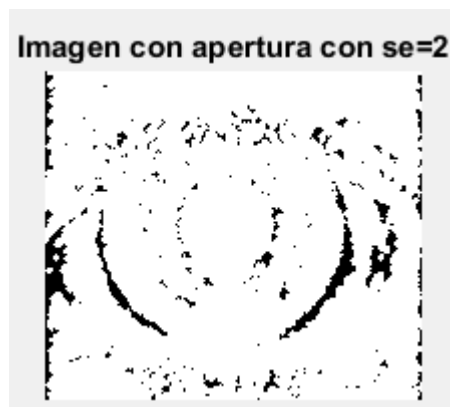


Figura 20: Imagen con apertura con  $se=2$  de la persona 1.

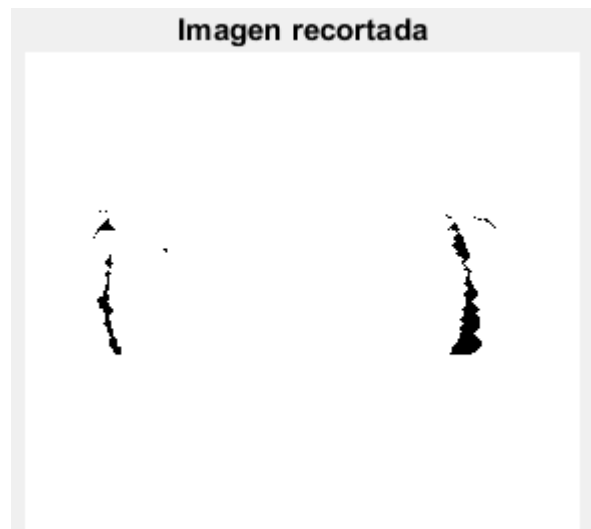


Figura 21: Imagen recortada de la persona 1.

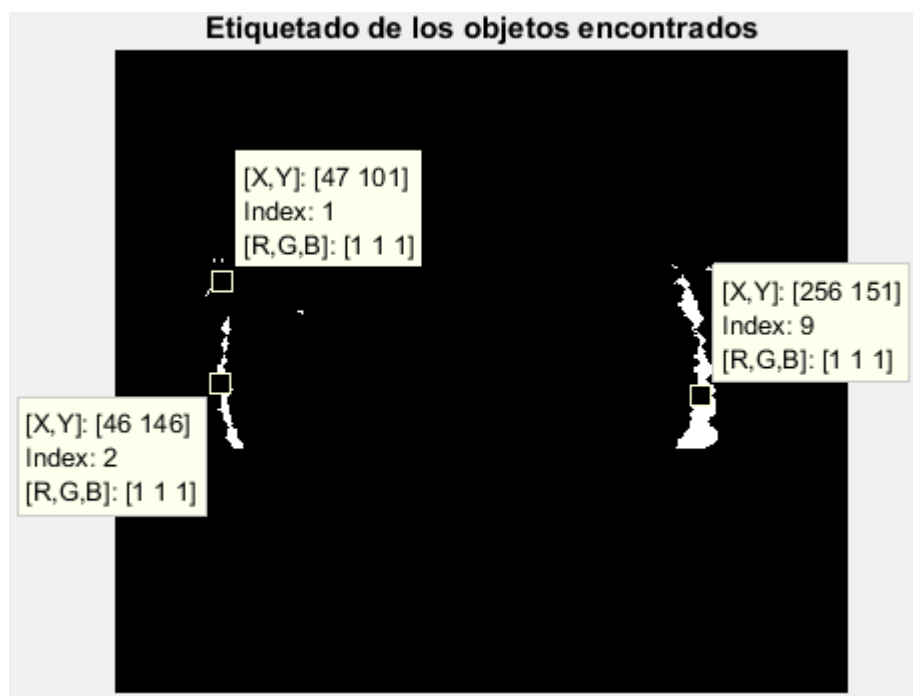


Figura 22: Etiquetado de los objetos encontrados de la persona 1.

El siguiente paso es etiquetar los objetos de la figura 21, utilizando nuevamente el algoritmo etiquetado.m de la sección de anexos, como se muestra en la figura 22.

Con los objetos etiquetados, se aplica nuevamente el algoritmo de detección de área (area.m), pero ahora a la figura 22. Al aplicarlo devuelve un vector con las áreas (vec\_I) y una variable (p\_1) con la etiqueta del área mayor, esta variable es usada para hacer cero el valor del área de esa etiqueta en el vector. Del vector actualizado se obtiene la posición del segundo objeto con mayor área en la variable p\_2. Estas dos etiquetas son utilizadas para filtrar la imagen 22 usando el algoritmo find\_iris.m, el cual elimina los objetos que no tengan la etiqueta p\_1 o p\_2. Así la imagen con los bordes del iris, es la mostrada en la figura 23.

Ahora a la figura 23 se le aplica el algoritmo fin\_radio.m, para determinar el tamaño del radio del iris, pero como este algoritmo encuentra el radio de un círculo que encierre todos los objetos de la imagen, se introduce una variable  $bandaC = 10$  que se le resta al radio del iris encontrado, para que no sea más grande de lo necesario, que adiferencia de aplicarselo a la pupila,  $bandaC = 0$ . Una vez obtenido el radio del iris, se aplica el algoritmo de draw\_circle, para encontrar el círculo con

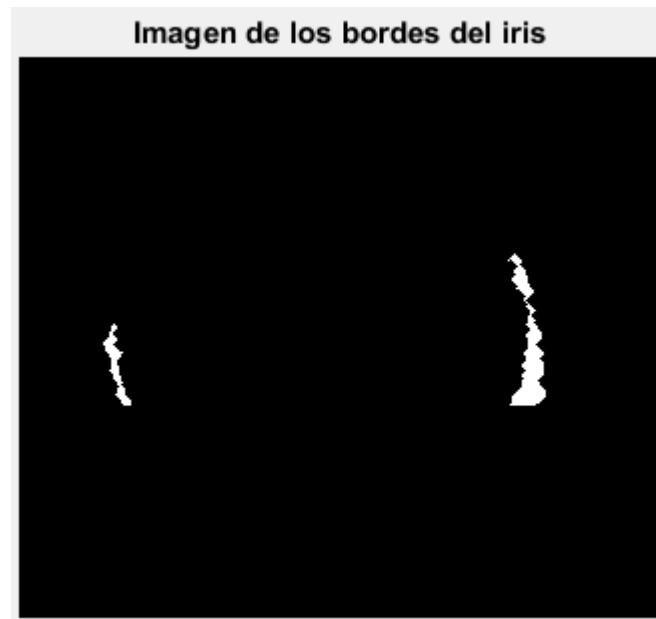


Figura 23: Imagen de los bordes de iris de la persona 1.

centro en  $(x_c, y_{cE})$ , donde  $y_{cE} = y_c + 3$ , ya que según [1], se puede asumir que tanto el centro de la pupila como el centro del iris, son los mismos, pero [3], dice lo contrario, es por ello que se realizaron varias pruebas y se encontró que la mejor coordenada en  $y$  para el centro del iris, estaba desfasado de la coordenada en  $y$  del centro de la pupila por una distancia de 3. De esta forma se obtuvo la figura 24, en la cual se muestra tanto los límites de pupila, como los del iris, además del centro de la pupila (amarillo) y el centro del iris (verde).

### 4.3. Extracción de la región del iris

Ahora se aplica el algoritmo de extracción de la región del iris a la imagen original de la figura 2 (`extraccion_banda.m`), el cual devuelve una matriz con los pixeles entre el radio del iris y de la pupila, como se muestra en la figura 25.

Enseguida se aplica una ecualización por histograma, para resaltar características y suavizar ruido, usando para ello el algoritmo `ecualizar.m` de la sección de anexos. Y se obtiene la figura 26.

A la figura 5 se le aplica el algoritmo de extracción de la región del iris y esta nueva imagen es ecualizada, quedando como se muestra en la figura 27

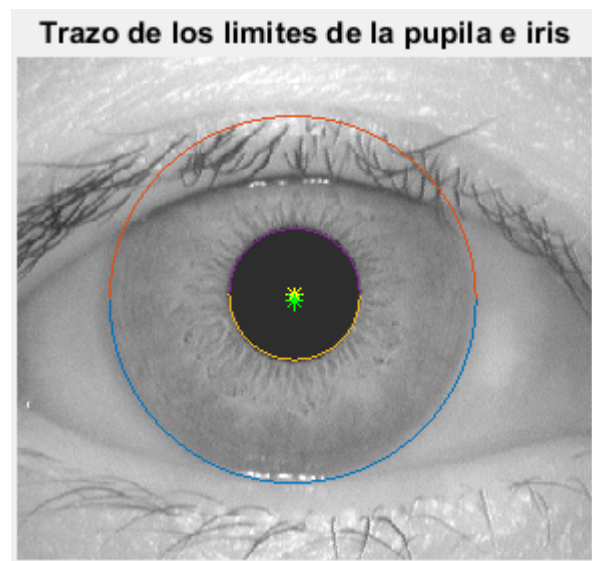


Figura 24: Trazo de los límites de la pupila e iris de la persona 1.

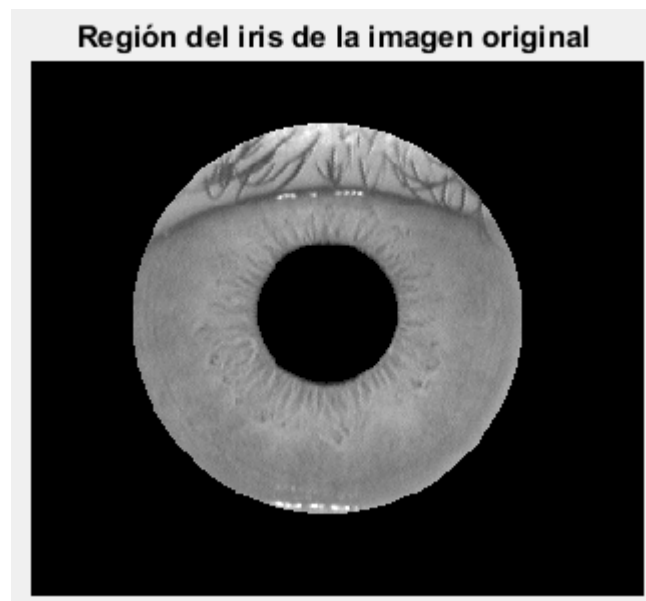


Figura 25: Región del iris de la imagen original de la persona 1.





Figura 26: Región del iris ecualizada de la persona 1.



Figura 27: Región del iris normalizada y ecualizada de la persona 1.

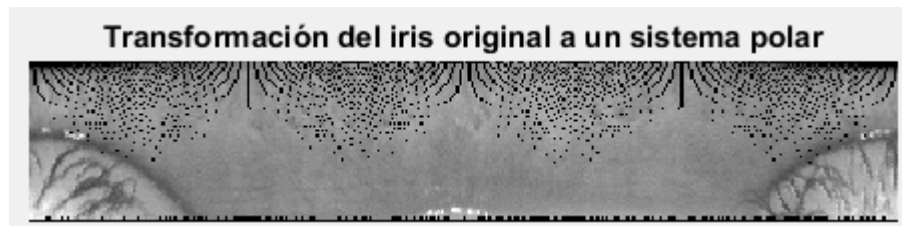


Figura 28: Transformación del iris normalizado a un sistema polar de la persona 1.

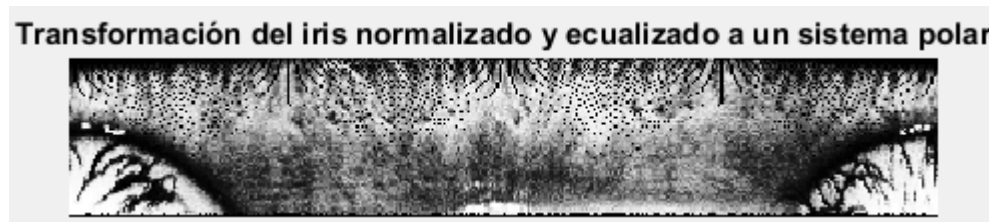


Figura 29: Transformación del iris normalizado y ecualizado a un sistema polar de la persona 1.

#### 4.4. Transformación a coordenadas polares

Se desarrolló un algoritmo para transformar la región extraída a coordenadas polares, pues de esta forma normaliza la imagen, para que tengan el mismo tamaño en el eje X, y resulte más fácil, la extracción y comparación de las características. Este algoritmo es `trans_PolRec.m` que se muestra en la sección de anexos, esta basado en el mostrado en [3] y se le aplica a la figura 25 y 27, las figuras obtenidas son las mostradas en 28 y 29, respectivamente.



Figura 30: Transformación inversa del sistema polar de la persona 1.



Figura 31: Trasnformacion inversa del sistema polar de la persona 1.

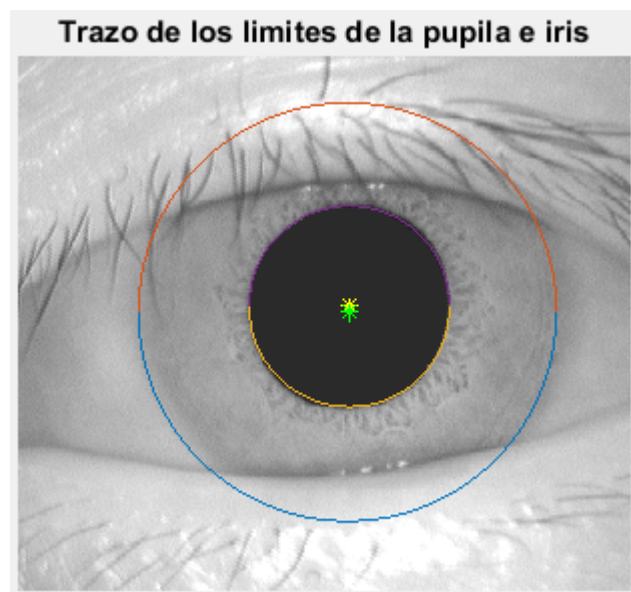


Figura 32: Trazo de los limites de la pupila e iris de la persona 2.



Figura 33: Trasnformación del iris normalizado y ecualizado a un sistema polar de la persona 2.



Figura 34: Trasnformación inversa de un sistema polar de la persona 2.

#### 4.4.1. Pruebas

En las figuras 32,33 y 34 se muestran los resultados obtenidos con la imagen de la persona 2.

En las figuras 35,36 y 37 se muestran los resultados obtenidos con la imagen de la persona 3.

En las figuras 38,39 y 40 se muestran los resultados obtenidos con la imagen de la persona 4.

En las figuras 41,?? y 43 se muestran los resultados obtenidos con la imagen de la persona 5.

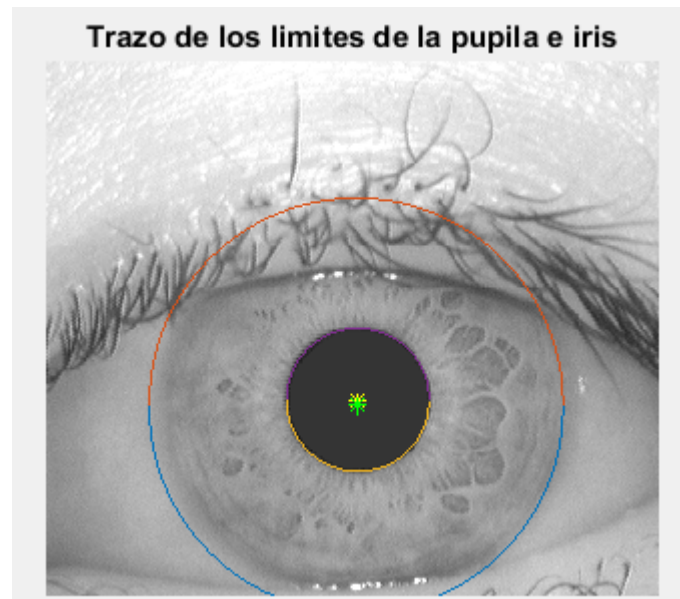


Figura 35: Trazo de los limites de la pupila de iris de la persona 3.

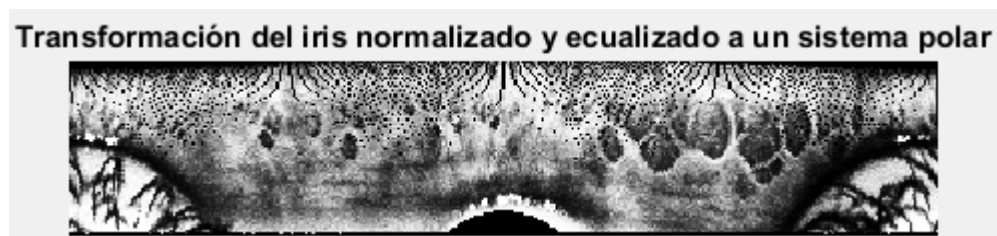


Figura 36: Transformación del iris normalizado y ecualizado a un sistema polar de la persona 3.



Figura 37: Transformación inversa del sistema polar de la persona 3.

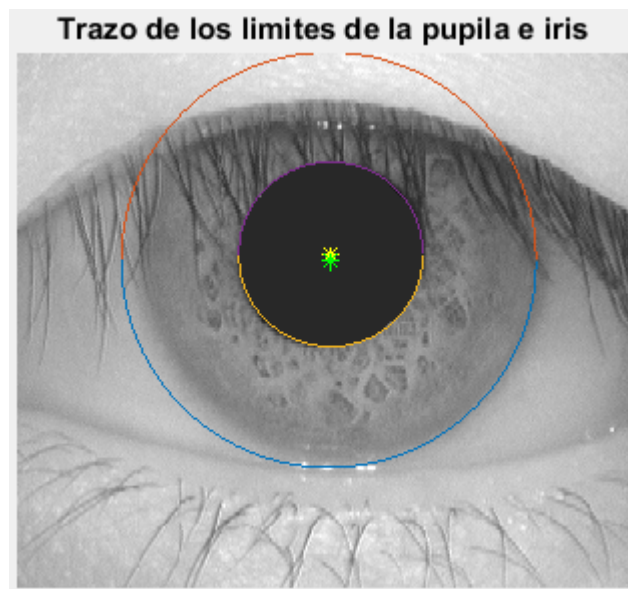


Figura 38: Trazo de los límites de la pupila e iris de la persona 4.



Figura 39: Transformación del iris normalizado y ecualizado a un sistema polar de la persona 4.



Figura 40: Trasnformación inversa del sistema polar de la persona 4.

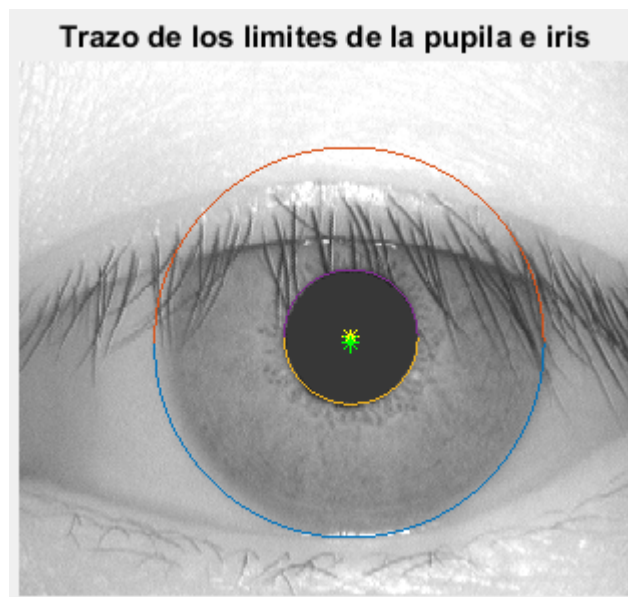


Figura 41: Trazo de los limites de la pupila e iris de la persona 5.



Figura 42: Transformación del iris normalizado y ecualizado a un sistema polar de la persona 5.



Figura 43: Trasnformación inversa del sistema polar de la persona 5.

## 5. Conclusiones

Se obtuvo un sistema de detección de iris, en el cual se realizaron varias etapas, las cuales se muestran en la sección de desarrollo, se encuentran los radiós del iris y de la pupila, y se extrae la banda comprendida entre dichos radios, además se transforma a un sistema normalizado. Se muestran los resultados de cada una de las etapas, así como también se presenta la descripción de cada una de las ellas.

Se comprendieron y utilizaron algunos de los algoritmos vistos y desarrollados en clases, así mismo se programaron otros, como prueba de lo aprendido a lo largo del semestre, y de esta forma complementar al sistema desarrollado.

Se muestran diferentes pruebas en la subsección de Desarrollo, para validar el sistema desarrollado y puede verse que el sistema cumple con los objetivos establecidos.

En los anexos se incluyen cada uno de los códigos implementados en cada una de las etapas, los cuales se desarrollaron en forma de funciones para facilitar su implementación.

## Referencias

- [1] Evanny Obregón Gamarra, Renato Oviedo Frasson, and Guillermo Kemper Vásquez. Biometría óptica de iris. *Universidad Tecnológica de Pereira, Colombia*, 2010.
- [2] Juan Alberto Devincenzi, María Laura Finamore, and Marcelo Naiouf2 Franco Chichizola and, Laura De Giusti. Reconocimiento biométrico de iris en ambientes de alta seguridad. *Facultad de Informática, UNLP*, 2012.
- [3] Francesc Serratos. Reconocimiento de personas por el iris. *Universidad Oberta de Catalunya*, 2013.

## 6. Anexos

### 6.1. Código principal

```

1 clc
2 clear all
3 close all
4 Im=imread('C:\Users\belen\Documents\Belen\rosebet\CASIA1\CASIA_Iris_Image_Database_
5
6 [Y X Z]=size(Im);
7 Conversion de la imagen original a escala de grises
8 if Z==3
9     im=rgb2gray(Im);

```



```

10     figure(1);
11     subplot(1,3,1); imshow(im);
12     title('Imagen_original');
13 else
14     im=Im;
15     figure(1);
16     subplot(1,3,1); imshow(im);
17     title('Imagen_original');
18 end
19 %%
20 %%%%%%%%%%%%%%%%%%%%%%%%%%%%%%%%%%%%%%%%%%
21 %%% Encontrar la pupila
22 %%%%%%%%%%%%%%%%%%%%%%%%%%%%%%%%%%%%%%%%%%
23 %filtro de la mediana para la imagen original
24 im_fil=filtro_mediana(im,X,Y);
25 figure(1);
26 subplot(1,3,2);imshow(im_fil);
27 title('Imagen_con_filtro_de_la_mediana');
28 %Histograma de la original
29 figure(2);
30 [h,x]=imhist(im);
31 subplot(3,1,1); plot(h);
32 title('Histograma_de_la_imagen_original');
33 %Histograma de la filtrada
34 [h,x]=imhist(im_fil);
35 subplot(3,1,2); plot(h);
36 title('Histograma_de_la_imagen_con_filtro_de_la_mediana');
37 %Normalizacion de la imagen original
38 [imN_mB]=normalizar(im);
39 figure(1);
40 subplot(1,3,3);imshow(imN_mB);
41 title('Imagen_original_normalizada');
42 %Hitograma de la imagen original normalizada
43 [h_imN,x_imN]=imhist(imN_mB);
44 figure(2)
45 subplot(3,1,3); plot(h_imN);
46 title('Histograma_de_la_imagen_original_normalizada');
47 %Normalizacion de la imagen filtrada
48 im_N=normalizar(im_fil);
49 figure(3);
50 subplot(1,2,1);imshow(im_N);
51 title('Imagen_con_filtro_normalizada');

```

```

52 %histograma de la imagen filtrada normalizada
53 [h,x]=imhist(im_N);
54 subplot(1,2,2); plot(h);
55 title('Histograma_de_la_imagen_con_filtro_normalizada');
56 %Obtencion del umbral de la imagen filtrada con normalizacion
57 T_umbral=umbral(h,x);
58 %Filtrado de la imagen usando el valor del umbral
59 imb=((uint8(im_N)-T_umbral)*255)/255;
60 figure(4);
61 subplot(2,1,1);imshow(double(imb),[]);
62 title('Imagen_filtrada_con_el_valor_T_umbral');
63 %Intercambiar los colores de imb
64 im_inter=1-imb;
65 subplot(2,1,2);imshow(im_inter,[]);
66 title('Intercambio_de_colores_de_los_objetos_con_T_umbral');
67 %Etiquetar los objetos que quedaron despues de la unbralizacion
68 [L_p labels im_blanc]=etiquetado(im_inter);
69 figure(5);
70 subplot(2,1,1); imshow(im_blanc,[]);
71 title('Binarizacion_de_la_imagen_con_T_umbral');
72 subplot(2,1,2); imshow(L_p);
73 title('Etiquetado_de_la_imagen_con_T_umbral');
74 %Encontrar la etiqueta con objeto de area maxima
75 [label_Amax vector]=area(labels,L_p,X,Y)
76 %Filtro para encontrar la pupila
77 im_pupila=find_pupila(Y,X,label_Amax,L_p);
78 figure(6); imshow(im_pupila)
79 title('Imagen_de_pupila_extraida_con_centro_en_(xc,yc)');
80 hold on
81 %Enctontrar el centro de la pupila
82 xc=0;
83 yc=0;
84 stats=regionprops(im_pupila,'Centroid');
85 xc=stats.Centroid(1,1);
86 yc=stats.Centroid(1,2);
87 plot(xc,yc,'r*')
88 legend('Centro');
89 %Encontrar el radio de la pupila
90 bandaC=0;
91 r_pupila=find_radio(im_pupila,X,Y,xc,yc,bandaC);
92 %Obetener los datos para dibujar el circulo de la pupila
93 [xcV,ycV,ycnV]=draw_circle(r_pupila);

```

```

94 %%%%%%%%%%%%%%%%%%%%%%%%%%%%%%%%%%%%%%%%%%%%%%%%%%%%%%%%%%%%%%%%%%%%%%%%%
95 %Encontrar el iris
96 %%%%%%%%%%%%%%%%%%%%%%%%%%%%%%%%%%%%%%%%%%%%%%%%%%%%%%%%%%%%%%%%%%%%%%%%%
97 im_iris=double(im_fil);
98 %Aplicacion de un operador para encontrar los bordes principales de un ojo
99 I_bordP=find_contornos(X,Y,im_iris);
100 figure(7);
101 subplot(2,1,1); imshow(I_bordP);
102 title('Extraccion_de_bordes_de_la_imagen_original');
103 %Encontrar el ruido de la imagen original
104 ruido=find_ruido(Ib,Y,X);
105 figure(8); imshow(ruido);
106 title('Extraccion_del_ruido_de_la_imagen_original');
107 %Eliminar el ruido de los bordes obtenidos
108 im_sinR=eliminar_ruido(ruido,I_bordP,Y,X);
109 figure(7);
110 subplot(2,1,2); imshow(im_sinR);
111 title('Imagen_de_los_bordes_sin_ruido');
112 %Aplicacion de operacion morfologica de Top-Hat
113 [im_o2 im_o1 im_c]=close_open(im_sinR);
114 figure(9);
115 subplot(1,3,1); imshow(im_c);
116 title('Imagen_con_cierre_con_se=1');
117 subplot(1,3,2); imshow(im_o1);
118 title('Imagen_con_apertura_con_se=1');
119 subplot(1,3,3); imshow(im_o2);
120 title('Imagen_con_apertura_con_se=2');
121 %Obtener solo una parte del ojo
122 [rec_ojo]=ojo_rectangulo(xc,yc,X,Y,im_o2,r_pupila);
123 figure(10);
124 subplot(1,2,1);imshow(rec_ojo);
125 title('Imagen_recortada');
126 %Etiquetar los objetos restantes para encontrar los de mayor area
127 im_copy=1-rec_ojo;
128 [L_I labels_I im_blancI]=etiquetado(im_copy);
129 subplot(1,2,2); imshow(L_I);
130 title('Etiquetado_de_los_objetos_encontrados');
131 [p_1 vec_I]=area (labels_I,L_I,X,Y);
132 vec_I(1,p_1)=0;
133 [maxAI, p_2]=max(vec_I);
134 %Encontrar los bordes del Iris
135 [im_iris]=find_iris(L_I,p_1,p_2,X,Y);

```

```

136 figure(11); imshow(im_iris);
137 title('Imagen_de_los_bordes_del_iris');
138 %Encontrar el radio del iris
139 bandaC=10;
140 [r_iris]=find_radio(im_iris,X,Y,xc,yc,bandaC);
141 [xcVE,ycVE,ycnVE]=draw_circle(r_iris);
142 %Dibujar el circulo de la pupila y del iris
143 %Por simplicidad se asume que el vertical del iris y de la pupila coinciden
144 %pero el eje horizontal de la pupila esta desplazado
145 ycE=yc+3;
146 figure(12);
147 subplot(2,1,1);imshow(Im);
148 hold on
149 plot(xcVE+xc-1,ycVE+ycE)
150 hold on
151 plot(xcVE+xc-1,ycnVE+ycE)
152 hold on
153 plot(xcV+xc,ycV+yc)
154 hold on
155 plot(xcV+xc,ycnV+yc)
156 hold on
157 plot(xc,yc,'*y');
158 hold on
159 plot(xc,ycE,'*g');
160 legend('Centro_Pupila','Centro_Iris');
161 title('Trazo_de_los_limites_de_la_pupila_e_iris');
162 %Extraccion de la banda del iris con la imagen original normalizada
163 [mask_banda2]=extraccion_banda(Im,xc,yc,r_pupila,r_iris,ycE,X,Y);
164 subplot(2,1,2); imshow(mask_banda2,[]);
165 title('Region_del_iris_de_la_imagen_original');
166
167 [Y X Z]=size(mask_banda2);
168
169 if Z==3
170     im_mB=rgb2gray(mask_banda2);
171 else
172     im_mB=mask_banda2;
173 end
174
175 %Ecuilizacion de la region del iris sin normalizar
176 ecualizada=ecualizar(im_mB,Y,X);
177 figure(14);

```

```

178 subplot(2,1,1);imshow(uint8(im_mB));
179 title('Region_del_iris_original_sin_ecualizar');
180 subplot(2,1,2);imshow(uint8(ecualizada));
181 title('Region_del_iris_original_ecualizada');
182 %Extraccion de la region del iris normalizada
183 [mask_banda]=extraccion_banda(imN_mB,xc,yc,r_pupila,r_iris,ycE,X,Y);
184 figure(15);
185 subplot(2,1,1); imshow(mask_banda,[]);
186 title('Region_del_iris_normalizada_sin_ecualizar');
187 [Y, X Z]=size(mask_banda2);
188 if Z==3
189     im_mB=rgb2gray(mask_banda2);
190 else
191
192     im_mB=mask_banda2;
193 end
194 %Ecualizacion de la region del iris normalizado
195 ec_imN=ecualizar(im_mB,Y,X);
196 subplot(2,1,2);imshow(uint8(ecualizada));
197 title('Region_del_iris_normalizada_ecualizada');
198 %%
199 %Transformacion de la region del iris sin normalizar ni ecualizar
200 %a un sistema de coordenadas polares
201 [im_Tfil]=trans_PolRec(mask_banda2,X,Y,xc,ycE,r_pupila,r_iris);
202 figure(16);
203 subplot(2,1,1);imshow(im_Tfil,[]);
204 title('Transformacion_del_iris_original_a_un_sistema_polar');
205 [x_i y_i]=size(im_Tfil);
206 [im_Tin]=trans_inversa(x_i,y_i,im,r_pupila,r_iris,xc,ycE);
207 figure(17);
208 subplot(2,1,1);imshow(im_Tin,[]);
209 title('Transformacion_inversa_del_sistema_polar');
210
211 %Transformacion de la region del iris con normalizacion y ecualizacion
212 %de a un sistema de coordenadas polares
213 [im_Tfil]=trans_PolRec(ec_imN,X,Y,xc,ycE,r_pupila,r_iris);
214 figure(16);
215 subplot(2,1,2);imshow(im_Tfil,[]);
216 title('Transformacion_del_iris_normalizado_y_ecualizado_a_un_sistema_polar');
217 [x_i y_i]=size(im_Tfil);
218 [im_Tin]=trans_inversa(x_i,y_i,ec_imN,r_pupila,r_iris,xc,ycE);
219 figure(17);

```

```

220 subplot(2,1,2);imshow(im_Tin,[]);
221 title('Transformacion_inversa_del_sistema_polar');

```

### 6.1.1. Filtro de la mediana

```

1 function [im1] = filtro_mediana(im,X,Y)
2     k=0;
3     tam=11;
4     vec=zeros(1,tam);
5     res=tam/2-.5;
6     res2=res;
7     res3=1;
8     im1=im;
9     for i=1:Y
10         for j=1:X-res
11             if j>res
12                 for k=1:tam
13                     if res2==0
14                         vec(1,k)=im(i,j);
15                         res2=res+1;
16                     else if res2<=res && res2>0
17                         vec(1,k)=im(i,j-res2);
18                         res2=res2-1;
19                     else
20                         vec(1,k)=im(i,j+res3);
21                         res3=res3+1;
22                     end
23                 end
24             end
25             res2=res;
26             res3=1;
27             im1(i,j)=median(vec);
28         end
29     end
30 end
31
32 end

```

### 6.1.2. Algoritmo de normalización

```

1 function [imN]=normalizar(im1)
2     m=min(min(im1));
3     M=max(max(im1));

```

```

4      imN=(im1-m)*(255/(M-m));
5  end

```

### 6.1.3. Algoritmo de detección automática de umbral

```

1  function [im1] = filtro_mediana(im,X,Y)
2      k=0;
3      tam=11;
4      vec=zeros(1,tam);
5      res=tam/2-.5;
6      res2=res;
7      res3=1;
8      im1=im;
9      for i=1:Y
10         for j=1:X-res
11             if j>res
12                 for k=1:tam
13                     if res2==0
14                         vec(1,k)=im(i,j);
15                         res2=res+1;
16                     else if res2<=res && res2>0
17                         vec(1,k)=im(i,j-res2);
18                         res2=res2-1;
19                     else
20                         vec(1,k)=im(i,j+res3);
21                         res3=res3+1;
22                     end
23                 end
24             end
25             res2=res;
26             res3=1;
27             im1(i,j)=median(vec);
28         end
29     end
30 end
31
32 end

```

### 6.1.4. Algoritmo de etiquetado

```

1  function [L etiqueta im2]=etiquetado(im_e)
2      im_e=double(im_e);
3      im2=im2bw(im_e);

```

```

4     L = bwlabel(im2);
5     etiqueta=max(max(L));
6 end

```

### 6.1.5. Algoritmo de detección de área

```

1 function [pos,vecEt]=area (etiqueta ,L,X,Y)
2     vecEt=ones(1,etiqueta);
3     for t=1:etiqueta
4         for i=1:Y
5             for j=1:X
6                 if L(i,j)==t
7                     vecEt(1,t)=vecEt(1,t)+1;
8                 end
9             end
10        end
11    end
12    %vecEt;
13    [maxA, pos]=max(vecEt);
14 end

```

### 6.1.6. Algoritmo para encontrar la pupila

```

1 function [pupila]=find_pupila(Y,X,pos,L)
2     pupila=zeros(Y,X);
3     for i=1:Y
4         for j=1:X
5             if L(i,j)==pos
6                 pupila(i,j)=1;
7             end
8         end
9     end
10
11 end

```

### 6.1.7. Algoritmo para encontrar el radio de la pupila y del iris

```

1 function [radio]=find_radio(L_p,X,Y,xc,yc,banda)
2 xmin=0;
3 xmax=0;
4 ymin=0;
5 ymax=0;
6 inicio=0;
7 for i=1:Y

```



```

8      for j=1:X
9          if L_p(i,j)==1
10             if inicio==0
11                 inicio=1;
12                 xauxm=j;
13                 yauxm=i;
14                 xauxM=j;
15                 yauxM=i;
16             else
17                 if j<xauxm
18                     xmin=j;
19                     xauxm=xmin;
20                 end
21                 if j>xauxM
22                     xmax=j;
23                     xauxM=xmax;
24                 end
25                 if i<yauxm
26                     ymin=i;
27                     yauxm=ymin;
28                 else
29                     ymin=yauxm;
30                 end
31                 if i>yauxM
32                     ymax=i;
33                     yauxM=ymax;
34                 end
35             end
36         end
37     end
38 end
39 % xmin
40 % xmax
41 % ymin
42 % ymax
43 rxm=xc-xmin-banda;
44 rxM=xmax-xc-banda;
45 rym=yc-ymin;
46 ryM=ymax-yc;
47 radios=[rxm rxM rym ryM];
48 radio=max(radios);
49 %r=radio;

```

50 end

### 6.1.8. Algoritmo para encontrar los límites de la pupila y del iris

```

1 function [xcV,ycV,ycnV]=draw_circle (radio)
2     xcV=[-radio:0];
3     tam=size (xcV);
4     for i=1:tam(1,2)-1
5         xcV(1,tam(1,2)+i)=(-1)*xcV(1,tam(1,2)-i);
6     end
7     ycV=sqrt (radio^2-xcV.^2);
8     ycnV=-sqrt (radio^2-xcV.^2);
9 end

```

### 6.1.9. Algoritmo para detección de bordes utilizando el operador de Sobel

```

1 function [I_b]=find_contornos(x,y,im_I)
2     % sx=[-1 0 0;0 1 0; 0 0 0] %roberts
3     % sy=[0 0 -1;0 1 0; 0 0 0] ;
4
5     % sx=[-1 0 1;-1 0 1; -1 0 1] %prewitt
6     % sy=-sx';
7
8     %sx=[1_0_-1;2_0_-2;-1_0_-1]; %sobel
9     %sy=-sx;
10    %sx=[-1_0_1;-2_0_2;-1_0_1] %sobel
11    %sy=sx';
12
13    % sx= [1,0,-1] %gradiente
14    % sy= [1;0;-1]
15    %
16    gx=conv2(im_I,sx);
17    gy=conv2(im_I,sy);
18
19    gx1=gx(1:y,1:x);
20    gy1=gy(1:y,1:x);
21    g=sqrt((gx1.*gx1)+(gy1.*gy1));
22
23
24    % gx=gx(:,1:x); %gradiente
25    % gy=gy(1:y,:);
26    % g=sqrt((gx.*gx)+(gy.*gy));
27

```

```

28     % a=atan (gy ./ gx );
29     a=atan (gy1 ./ gx1 );
30
31     figure (13);
32     subplot(2,2,1); imshow(gx1,[]);
33     title('Gradiente_en_x_de_la_imagen');
34     subplot(2,2,2); imshow(gy1,[]);
35     title('Gradiente_en_y_de_la_imagen');
36     % subplot(2,2,3); imshow(gx,[]);
37     % subplot(2,2,4); imshow(gy,[]);
38     subplot(2,2,3); imshow(g,[]);
39     title('Magnitud_del_gradiente_de_la_imagen');
40     subplot(2,2,4); imshow(a,[]);
41     title('Angulo_del_gradiente_de_la_imagen');
42
43     I_b=zeros(y,x);
44     %figure; imshow(I);
45     for i=1:y
46         for j=1:x
47             if g(i,j)<15
48                 I_b(i,j)=1;
49             end
50         end
51     end
52
53 end

```

### 6.1.10. Algoritmo de para obtener el ruido de la imagen

```

1 function [newim]=find_ruido(Imutil,Y,X)
2     [h1,x1]=imhist(Imutil);
3     figure; stem(h1);
4     sum=0;
5     tam=size(x1);
6     for i=1:tam(1,1)
7         sum=h1(i,1)+sum;
8     end
9     sum;
10    prom=sum/tam(1,1);
11
12    ltam=1;
13    newvec=zeros(ltam,1);
14    for i=1:tam(1,1)

```

```

15         if h1(i,1)>=prom
16             newvec(ltam,1)=i;
17             ltam=ltam+1;
18         end
19     end
20     newvec;
21     newim=ones(Y,X);
22     for k=1:ltam-1
23         for i=1:Y
24             for j=1:X
25                 if Imutil(i,j)==newvec(k,1)
26                     newim(i,j)=0;
27                 end
28             end
29         end
30     end
31 end

```

#### 6.1.11. Algoritmo de eliminación de ruido

```

1 function [newIM]=eliminar_ruido(im_ruido,newIM,Y,X)
2     for i=1:Y
3         for j=1:X
4             if im_ruido(i,j)==1
5                 newIM(i,j)=255;
6             end
7         end
8     end
9 end

```

#### 6.1.12. Algoritmo Top-Hat con doble apertura

```

1 function [imedaux ime imed]=close_open(im_mul)
2     se=strel('disk',1);
3     ime=imerode(im_mul,se);
4     %figure; imshow(ime);
5
6     imed=imdilate(ime,se);
7     %figure; imshow(imed);
8
9     se=strel('disk',2);
10    imedaux=imdilate(imed,se);
11    %figure; imshow(imedaux);
12 end

```

### 6.1.13. Algoritmo de recorte

```
1 function [copy]=ojo_rectangulo(xc,yc,X,Y,imedaux,radio)
2     xcp=round(xc);
3     ycp=round(yc);
4     largo=120;
5     r_p=round(radio)+5;
6     xini=xcp-largo;
7     xfin=xcp+largo;
8     yini=ycp-r_p;
9     yfin=ycp+r_p;
10    %Eliminar los objetos fuera de los limites y_ini e y_fin
11    %y de los x_ini e x_fin.
12    copy=ones(Y,X);
13    for i=1:Y
14        if i>yini && i<yfin
15            for j=1:X
16                if j>xini && j<xfin
17                    copy(i,j)=imedaux(i,j);
18                end
19            end
20        end
21    end
22    %figure; imshow(copy);
23    largo=r_p+30;
24    xini=xc-largo;
25    xfin=xc+largo;
26    yini=yc-r_p;
27    yfin=yc+r_p;
28    %Eliminar los objetos dentro de los limites y_ini e y_fin
29    %y de los x_ini e x_fin.
30    for i=1:Y
31        if i>yini && i<yfin
32            for j=1:X
33                if j>xini && j<xfin
34                    copy(i,j)=1;
35                end
36            end
37        end
38    end
39    %figure; imshow(copy);
40 end
```

#### 6.1.14. Algoritmo para encontrar los bordes del iris

```

1 function [iris]=find_iris(L,pos1,pos2,X,Y)
2     iris=zeros(Y,X);
3     for i=1:Y
4         for j=1:X
5             if L(i,j)==pos1 || L(i,j)==pos2
6                 iris(i,j)=1;
7             end
8         end
9     end
10 end

```

#### 6.1.15. Algoritmo para extraer la región del iris

```

1 function [mascara]=extraccion_banda(Im_O,xc,yc,r,rE,ycE,X,Y)
2     mascara=zeros(Y,X);
3     for i=1:Y
4         for j=1:X
5             if ((i-(ycE))^2+(j-xc)^2)<rE^2 && ((i-yc)^2+(j-xc)^2)>r^2
6                 mascara(i,j)=Im_O(i,j);
7             %
8             %             mascara(i,j)=255;
9             end
10        end
11    end
12 end

```

#### 6.1.16. Algoritmo para ecualizar

```

1 function [newx]=ecualizar(im_mB,m,n)
2
3     % x es un vector o matriz formado por enteros
4
5     im_mB=double(im_mB);
6     mayor=max(max(im_mB));
7     menor=min(min(im_mB));
8
9     if menor>=0
10
11     histograma=zeros(1,mayor);
12
13     for i=1:m
14         for j=1:n

```

```
15         for k=1:length(histograma)
16             if k==im_mB(i,j)
17                 histograma(k)=histograma(k)+1;
18                 end;
19             end;
20         end;
21     end;
22
23     else
24         mayor2=0-menor+1;
25         histograma=zeros(1,mayor2+mayor);
26
27     for i=1:m
28         for j=1:n
29             for k=menor:mayor
30                 if k==im_mB(i,j)
31                     histograma(k+mayor2)=histograma(k+mayor2)+1;
32                     end;
33                 end;
34             end;
35         end;
36
37     end;
38
39     histograma=histograma/(n*m);
40     %Normalized histogram
41
42     ecu=zeros(1,length(histograma));
43
44     for i=1:length(histograma)
45         for j=1:i
46             ecu(i)=ecu(i)+histograma(j);
47             %ecu has the acumulative histogram
48         end;
49     end;
50
51
52     if menor>=0
53
54     for i=1:m
55         for j=1:n
56             if im_mB(i,j)~=0
```

```

57         newx(i,j)=ecu(im_mB(i,j))*(mayor-menor)+menor;
58         else
59             newx(i,j)=ecu(im_mB(i,j)+1)*(mayor-menor)+menor;
60         end;
61     end;
62 end;
63
64     else
65
66     for i=1:m
67         for j=1:n
68             newx(i,j)=ecu(im_mB(i,j)+mayor2)*(mayor-menor)+menor;
69         end;
70     end;
71
72
73     end;
74     newx=round(newx);
75 end

```

### 6.1.17. Algoritmo para transformación de coordenadas

```

1 function [V]=trans_PolRec(mask_banda3,X,Y,xcx,ycx,rp,ri)
2     rp=round(rp)+1;
3     ri=round(ri)+1;
4     N=ri-rp;
5     y_lon=[1:N];
6     M=360;
7     x_lon=[1:M];
8     for i=1:Y
9         for j=1:X
10            rn=sqrt((j-xcx)^2+(i-ycx)^2);
11            alfa=atand((i-ycx)/(j-xcx));
12            if alfa<0
13                alfa=90+alfa;
14            else
15                alfa=alfa;
16            end
17            if j>xcx && i>ycx
18                alfa=270-alfa;
19            else
20                if j<xcx && i<ycx
21                    alfa=90-alfa;

```



```

22         else
23             if j < xc && i > yc
24                 alfa = 180 - alfa;
25             else
26                 if j > xc && i < yc
27                     alfa = 360 - alfa;
28                 end
29             end
30         end
31     end
32
33     if rn >= rp && rn <= ri
34         xp = round((M * (alfa)) / (2 * 180));
35         yp = round((N * (rn - rp)) / (ri - rp));
36         V(yp + 1, xp + 1) = mask_banda3(i, j);
37     end
38 end
39 end
40
41 end

```

### 6.1.18. Algoritmo para transformación inversa

```

1 function [im_trans] = trans_inversa(X, Y, I_o, rp, ri, xo, yo)
2     for i = 1:Y
3         for j = 1:X
4             alfa = (((2 * pi * i) / (X)) - pi) * (180 / (2 * pi));
5             rn = rp + (((ri - rp) * i) / Y);
6             x = rn * sind(alfa) + xo;
7             y = rn * cosd(alfa) + yo;
8             im_trans(j, i) = I_o(round(x), round(y));
9         end
10    end
11
12 end

```